



## ПЛАЗМЕННО-ДЕСОРБИОННАЯ МАСС-СПЕКТРОМЕТРИЯ ПРИРОДНЫХ СОЕДИНЕНИЙ

### II\*. ПРИМЕНЕНИЕ МЕТОДА ДЛЯ АНАЛИЗА НУКЛЕОТИДОВ, УГЛЕВОДОВ, ЛИПИДОВ И ПИГМЕНТОВ

© 1996 г. Н. А. Резцова<sup>#</sup>, М. А. Кулиш, А. Ф. Миронов

Московская государственная академия тонкой химической технологии им. М. В. Ломоносова,  
117571, Москва, просп. Вернадского, 86

Поступила в редакцию 24.01.95 г.

Обзор посвящен применению плазменно-десорбционной масс-спектрометрии (PD MS) для анализа природных соединений. Рассмотрены результаты исследований пептидов и белков (часть I), нуклеотидов, углеводов, липидов и пигментов. Обзор охватывает литературу с 1982 по 1995 г.

**Ключевые слова:** плазменно-десорбционная масс-спектрометрия (PD MS), олигонуклеотиды, углеводы, липиды, пигменты.

#### ОЛИГОНУКЛЕОТИДЫ

Сложность масс-спектрометрического анализа незащищенных олигонуклеотидов заключается в их высокой полярности, обусловленной наличием остатка фосфорной кислоты. Приготовление проб этих соединений обычно осуществляется электрораспылением их водно-органических растворов. При их ионизации интенсивные сигналы ионов  $[M + H]^+$  и  $[M - H]^-$  удалось зарегистрировать для динуклеотидов (AC, GA) и тринуклеотида AAC [1 - 3]. Имеется сообщение о масс-спектрометрии проб олигонуклеотидов, нанесенных из водных растворов на нитроцеллюлозу [4] и хлорид тридодецилметиламмония [1]. В последнем случае возможность промывки пробы после нанесения вещества в водном растворе позволяет получать более интенсивные сигналы отрицательных ионов, чем при электрораспылении растворов без матрицы [1].

Образование отрицательных фрагментных ионов X и Y олигорибонуклеотидов и олигодезоксирибонуклеотидов происходит при расщеплении

Сокращения: MS (mass spectrometry) – масс-спектрометрия, FAB (fast-atom bombardment) – бомбардировка ускоренными атомами, FD (field desorption) – десорбция полем, LD (laser desorption) – лазерная десорбция, PD (plasma desorption) – плазменная десорбция, CI (chemical ionization) – химическая ионизация, TOF (time-of-flight) MS – времязапорная масс-спектрометрия.

\* Часть I. Основные свойства метода и его применение для анализа пептидов и белков (Биоорган. химия. 1996, № 1).

<sup>#</sup> Автор для переписки.

связи C5'-O5' или C3'-O3' [1 - 5] (схема 1). Так, по сигналам этих ионов определена нуклеотидная последовательность соединений GA и AAC [1, 3].

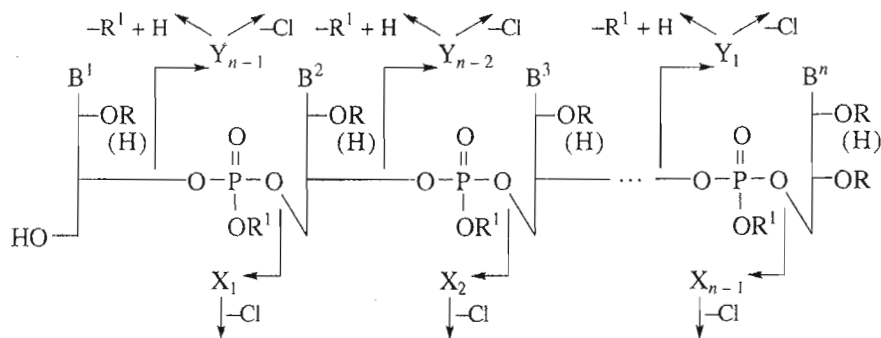
Важной характеристикой олигодезоксирибонуклеотидов является значительная интенсивность пиков фрагментных ионов Y в отличие от ионов X, которые в отдельных случаях могут отсутствовать полностью [4, 5]. Методом PD MS получены ионы  $[M - H]^-$  и подтверждена структура тридезоксирибонуклеозиддифосфатов d(GAG), d(AGG), d(GGA), d(GGT), d(GGC), d(CCA), d(CCC), d(AAA), d(TTT), d(GGG) [5] и гексадезоксирибонуклеотида d(TATATA) [4]. В процессе PD олигодезоксирибонуклеотидов частично происходит потеря элементов воды, что приводит к появлению в их масс-спектрах характерных двойных сигналов фрагментных ионов  $F^+$  и  $[F - H_2O]^+$  [5]. По общему виду масс-спектра часто можно также сделать вывод о степени чистоты образца исследуемого олигонуклеотида [4].

Метод PD MS позволяет контролировать образование внутримолекулярных связей и другие изменения в структуре дидезоксирибонуклеотидов при УФ-облучении. Так, d(TT) и образуемые им продукты фотопреакций дают ионы в области молекулярных масс и несколько фрагментных ионов. Идентификация этих соединений проведена по фрагментации, характерной для каждого вещества [6].

Анализ полностью или частично защищенных олигонуклеотидов является более простой задачей из-за блокирования полярных групп. Методом PD



Схема 1.



B – защищенное нуклеиновое основание,  
R – Si(CH<sub>3</sub>)<sub>2</sub>-tBu, R<sup>1</sup> – CH<sub>2</sub>CCl<sub>3</sub>, CH<sub>2</sub>CH<sub>2</sub>CN, CH<sub>3</sub> или C<sub>6</sub>H<sub>4</sub>Cl

Схема 2 [12, 13].

MS определяют молекулярную массу защищенных олигонуклеотидов и получают информацию о защитных группах. Например, исследованы метилированные олигонуклеотиды: метилfosфонаты d(TTTT), d(AAA), dT<sub>9</sub> [4], d(TTAT) и dT<sub>7</sub> [7]. Подтверждение молекулярной массы проведено по ионам  $[M + Na]^+$ ,  $[M + K]^+$  и  $[M - H]^-$ , а структурная информация получена по положительным [4] и отрицательным [7] фрагментным ионам.

Молекулярную массу полностью защищенных нуклеотидов определяют по ионам  $[M + Na]^+$  и  $[M - H]^-$  [8 - 13]. Значение молекулярной массы защищенного пентадезоксирибонуклеотида также подтверждалось масс-спектрометрией образца с добавлением иодида цезия, что приводило к появлению сигнала дополнительного иона  $[M + Cs]^+$  [4]. Спектр положительных и отрицательных ионов защищенных олигонуклеотидов в области молекулярных масс может быть представлен серий сигналов, например  $[M - H]^-$ ,  $[M - Cl]^-$ ,  $[M + Cl]^-$ ,  $[M - 2Cl]^-$ ,  $[M - R]^-$ ,  $[M - R - Cl]^-$ , R = CH<sub>2</sub>CCl<sub>3</sub>, CH<sub>2</sub>CH<sub>2</sub>CN, C<sub>6</sub>H<sub>4</sub>Cl, CH<sub>3</sub> [12, 13].

При изучении спектров положительных ионов защищенного дидезоксирибонуклеотида обнаружено увеличение выхода ионов  $[M + Na]^+$  при УФ-облучении образца в процессе подготов-

ки пробы. Такой же эффект достигается электрораспылением раствора с концентрацией 1 М. В этих условиях, очевидно, образуются агрегаты ориентированных молекул нуклеотида, влияющие на его десорбцию и ионизацию [8].

Определение последовательности защищенных нуклеотидов и даже характера некоторых защитных групп обычно проводят по спектру отрицательных ионов (схема 2) [12, 13]. Зарегистрированы также положительные фрагментные ионы, образованные при расщеплении связи C5'-O5' аденина, что позволяет оценить количество этих остатков в молекуле [10].

## УГЛЕВОДЫ

В спектрах олигосахаридов и гликоконъюгатов молекулярная масса определяется преимущественно по иону  $[M + Na]^+$ , для увеличения чувствительности можно анализировать также перметилированные и перацетилированные углеводы [14 - 16]. При этом по увеличению молекулярной массы определяют количество модифицированных групп, а усиление фрагментации молекул способствует определению последовательности моносахаридных звеньев [15, 16].

Массы фрагментных ионов свободной (А) и перацетилированной (Б) мальтогептаозы [14]\*

А	Б
$A_i = [M + Na + 29 - \{(7-i)G + H\}]^+$	$X_i = [M' + Na + 29 - \{(7-i)G' + CH_3CO\}]^+$
$B_i = [M + Na - H - \{(7-i)G + H\}]^+$	$Y_i = [M' + Na - 59 - \{(7-i)G' + CH_3CO\}]^+$
$B'_i = [M + Na + H - \{(7-i)G + H\}]^+$	$Z_i = [M' + Na - 59 - 16 - \{(7-i)G' + CH_3CO\}]^+$
$C_i = [M + Na - 17 - \{(7-i)G + H\}]^+$	$V_i = [M' + H - 17 - \{(7-i)G' + CH_3CO\}]^+$
$D_i = [M + Na - H - 32 - \{(7-i)G + H\}]^+$	$W_i = [M' + H - 60 - 17 - \{(7-i)G' + CH_3CO\}]^+$
$E_i = [M + Na - 105 - \{(7-i)G + H\}]^+$	
$F_i = [M + H - 75 - \{(7-i)G + H\}]^+$	

\*  $M$  – масса мальтогептаозы,  $G$  – масса остатка глюкозы,  $M'$  – масса перацетилированной мальтогептаозы,  $G'$  – масса перацетилированного остатка глюкозы,  $i = 1 - 6$ .

Для восстановленной перацетилированной мальтогептаозы применение в качестве матрицы нитроцеллюлозы вызывает увеличение интенсивности сигнала иона  $[M + Na]^+$  по сравнению с электрораспылением на миларе [17]. Промывание водой пробы этого вещества, нанесенного на нитроцеллюлозу, уменьшает интенсивность сигнала иона  $[M + Na]^+$ , что связано с удалением ионов натрия из пробы [14, 17]. При аналогичной процедуре для перацетилированной мальтогептаозы зарегистрировано также изменение структуры фрагментных ионов [14].

Нитроцеллюлоза в качестве матрицы применяется при исследовании частично защищенных и незащищенных аминогликозидных антибиотиков [18].

При анализе мальтогексаозы, мальтогептаозы и их перацетилированных аналогов наблюдаются серии сигналов фрагментных ионов, соответствующих последовательному расщеплению гликозидных связей [14, 15, 17]. Для мальтогептаозы это ионы А, В, С, D, E, F, а для перацетилированной мальтогептаозы – W, V, X, Y, Z (таблица) [14]. Ионы F, V, W не содержат натрия.

Олигосахариды, содержащие остатки аминосахаров –  $Gal\beta-(1-6)-GlcNAc$ , диацетилхитобиозу, перацетилированную хитобиозу, триацетилхитотриозу, мальтотетраозу и ее перацетилированное производное, – исследовали различными методами MS [16]. Установлено, что фрагментация этих углеводов в условиях PD аналогична их фрагментации при FAB: наблюдается расщепление гликозидных связей, в некоторых случаях с отщеплением воды. При использовании LD MS фрагментные ионы имеют другую структуру [16].

Анализ продуктов ферментной деполимеризации гепарина – натриевых солей олигосахаридов, содержащих от 2 до 6 углеводных остатков, предложено проводить на матрице из хлорида тридоде-

цилметиламмония, нанесенного на милар [19 - 21]. В этом случае характерными являются сигналы положительных ионов, включающих  $n + 1$  катионов тридодецилметиламмония, а в спектрах отрицательных ионов содержащих  $n - 1$  катионов тридодецилметиламмония ( $n$  – количество сульфо- и карбоксигрупп олигосахарида).

Интенсивный ион  $[M + Na]^+$ , а также фрагментация углеводной части молекулы, наблюдаемая в условиях PD, позволяют определить молекулярную массу и получить структурную информацию о перметилированных или перацетилированных разветвленных олигосахаридах [19], липоолигосахаридах [15, 22], фенольных гликолипидах [22], ганглиозидах [14, 23] и гликопептидолипидах [15, 22, 24].

По аналогичным ионам установлена структура немодифицированных соединений: разветвленного сердечного гликозида дигитонина [25] и липоолигосахарида [26].

Методом PD MS анализировали 16 низкомолекулярных гликоконъюгатов, образующихся в процессе метаболизма гербицидов. Метод FAB MS оказался менее пригодным для этих целей из-за влияния глицерина, применяемого при подготовке пробы [27].

Нами зарегистрирован масс-спектр синтетического 2,3-дипальмитоил- $S$ -( $\beta$ -D-галактопиранозил)-1-тиоглицерина [28]. Поскольку в структуре этого соединения имеется остаток галактозы, определение молекулярной массы проводилось по интенсивным сигналам ионов  $[M + Na]^+$  и миорным сигналам ионов  $[M + H]^+$  и  $[2M + Na]^+$  (рис. 1).

Для некоторых гликопептидов и пептидолигосахаридов характерны ионы в области молекулярных масс  $[M + H]^+$  и  $[M - H]^-$  [15, 30 - 32].

Метод PD MS может быть использован для оценки гетерогенности углеводной части молекулы. Так, было обнаружено присутствие пяти

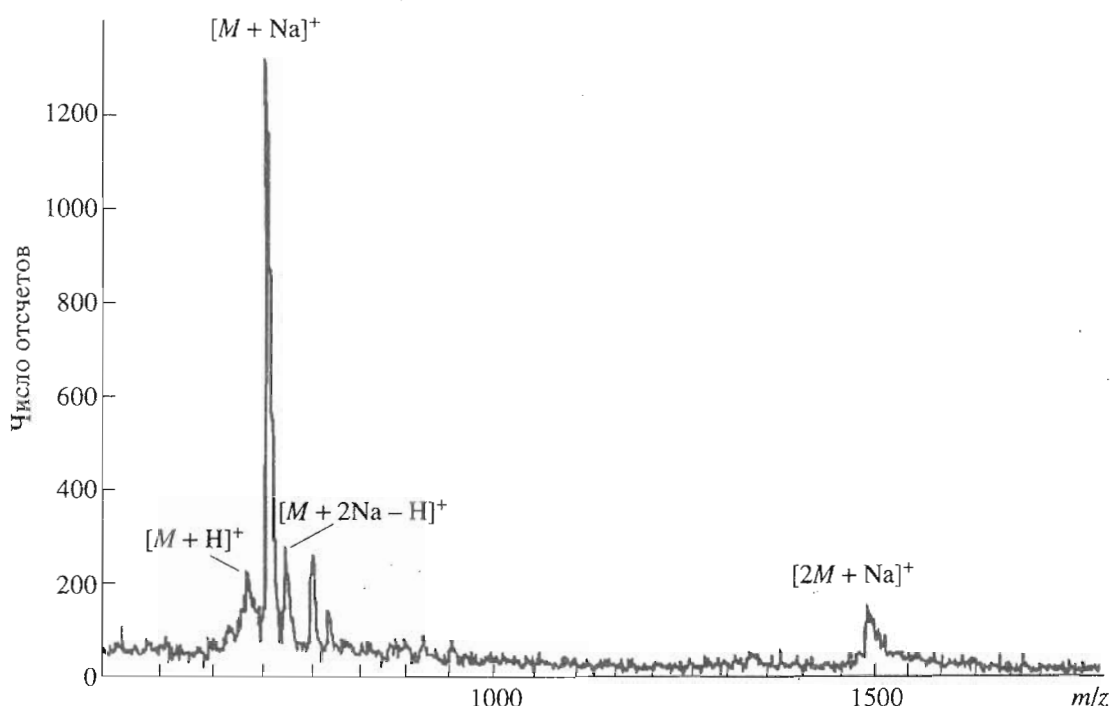


Рис. 1. Масс-спектр 2,3-дипальмитоил-*S*-( $\beta$ -D-галактопиранозил)-1-тиоглицерина [28]. Спектр зарегистрирован нами на приборе МС БХ [29].

различных гликопептидов в смеси соединений общей формулы Phe-Asn(GlcNAc-GlcNAc-Man<sub>n</sub>)-Glu-Thr-Lys ( $n = 5 - 9$ ) [30].

### ЛИПИДЫ

Метод PD MS применяли для подтверждения структуры липидов различных классов:mono-, ди- и триглицеридов, фосфолипидов, гликолипидов, гликосфинголипидов, сульфатидов, жирных кислот и их ангидридов, восков, холестерина и его производных.

Для фосфолипидов зарегистрированы ионы  $[M + Na]^+$ ,  $[M + 2Na - H]^+$  и ион  $[M - H]^-$  [33]. Фрагментные ионы соответствуют отщеплению жирнокислотных остатков, расщеплению связи глицерин-фосфат, а для фосфатидилсерина – также отщеплению остатка серина [33] (схема 3). В области небольших масс зарегистрированы диагностические ионы, такие, как  $\text{CH}_2=\text{C}(\text{CH}_3)\text{COOH}^+$  или  $\text{CH}_2=\text{CHN}^+(\text{CH}_3)_3$ . Спектр отрицательных ионов содержит характерные пики, например  $[M - \text{CH}_3]^-$ ,  $[M - \text{N}(\text{CH}_3)_3\text{H}]^-$ ,  $[M - (\text{CH}_2\text{CHN}(\text{CH}_3)_3]^-$  для фосфатидилхолина и  $[M - \text{CH}_2\text{CH}(\text{NH}_3)\text{COOH}]^-$  для фосфатидилсерина [33].

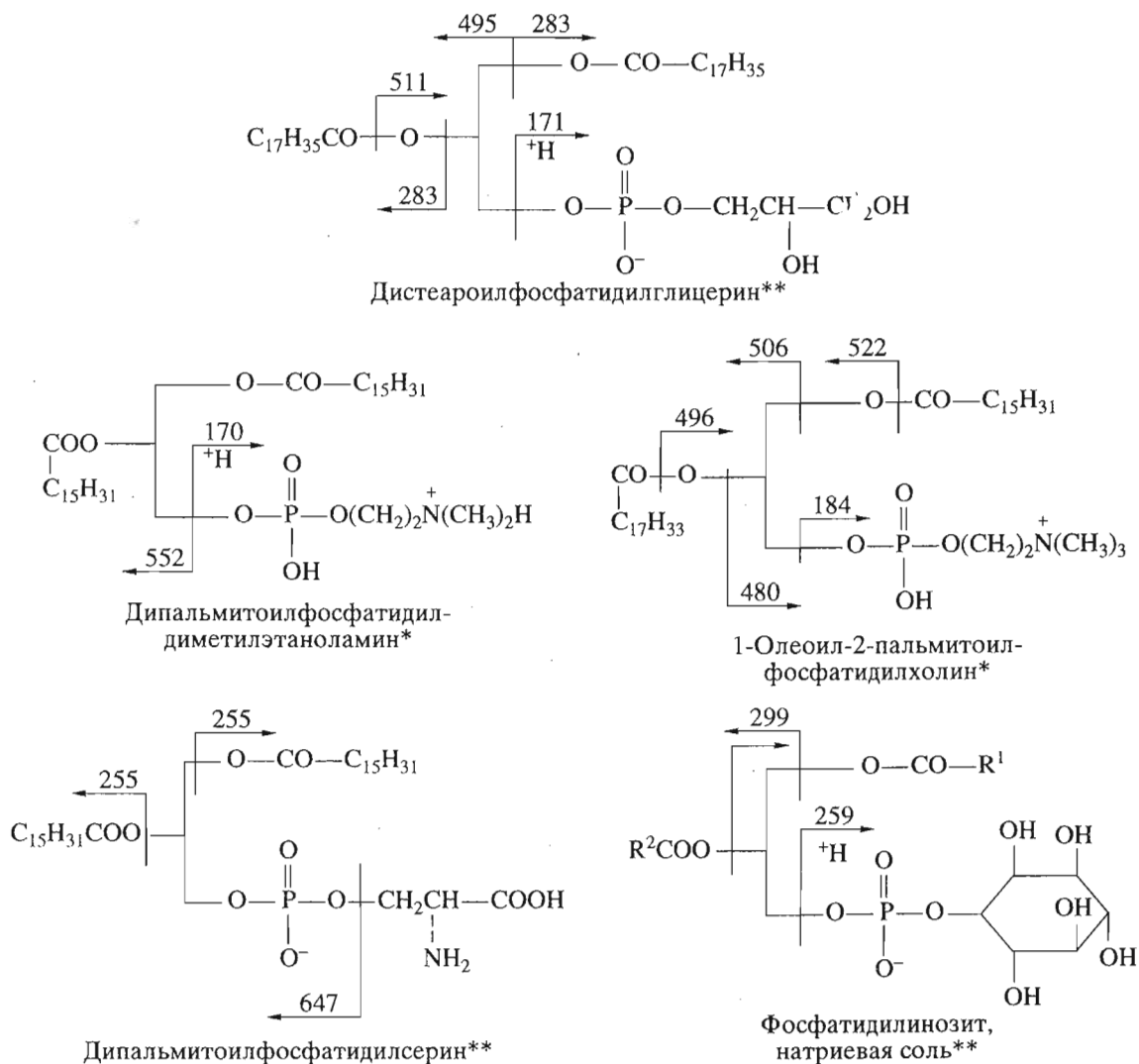
Масс-спектры PD фосфатидилсерина содержат сигналы ионов  $[M + 2Na - H]^+$  и  $[M - H]^-$  и позволяют определить его молекулярную массу. Определение молекулярной массы этого соединения методами FAB MS и FD MS затруднено [33].

При использовании нитрана в качестве матрицы спектр отрицательных ионов фосфатидилхолина представлен кроме характеристического пика  $[M - \text{CH}_3]^-$  также сигналом иона  $\text{C}_{17}\text{H}_{35}\text{COO}^-$  [34]. При использовании низкомолекулярной нерастворимой в хлороформе матрицы 3-(3-пиридил)акриловой кислоты для анализа фосфатидилхолина зарегистрированы интенсивные ионы  $[M + \text{H}]^+$  и фрагментные ионы [35].

Метод PD MS широко используется для подтверждения структуры синтетических полярных липидов [36 - 39]. В частности, нами получен масс-спектр бромида N-гидроксиэтил-N,N-диметил-N-(2,3-диоктадецилокси)пропиламмония [35] (рис. 2).

Для насыщенных жирных кислот общей формулы  $\text{CH}_3(\text{CH}_2)_n\text{COOH}$  характерными пиками в масс-спектрах являются сигналы ионов  $[M + \text{H}]^+$ , карбоксилат-ионов  $\text{RCOO}^-$  ( $[M - \text{H}]^-$ ), а также миорных олигомерных ионов. В случае стеариновой кислоты ( $n = 16$ ) эти ионы  $[2M + \text{H}]^+$  и  $[3M + \text{H}]^+$ , у миристиновой ( $n = 12$ ) и бегеновой ( $n = 20$ ) кислот –  $[2M + \text{H}]^+$ ,  $[3M + \text{H}]^+$  и  $[4M + \text{H}]^+$  [40 - 42], а также ионы  $[2M - \text{H}]^-$ . Фрагментные ионы соответствуют отщеплению водорода, этилена или двуокиси углерода, а также образованию иона  $\text{RCO}^+$  [40 - 42].

Аналогичные ионы присутствуют в масс-спектрах ненасыщенных жирных кислот. Кроме того, при структурных исследованиях мононенасыщенных жирных кислот могут быть информативными серии фрагментных ионов [42].



Примечание: \* – положительные ионы, \*\* – отрицательные ионы.

### **Схема 3.**

С помощью пленок Ленгмюра-Блоджетта на примере жирных кислот изучена зависимость выхода десорбируемых ионов от толщины пленки. По мере увеличения числа монослоев наблюдалось повышение интенсивности пиков, достигавшее насыщения при толщине пленки в 6 - 8 монослоев [43 - 45].

Стеариновый ангидрид образует молекулярный ион  $M^{+*}$ , а также ион с  $m/z$  533, формально соответствующий потере  $\text{OH}^{\cdot}$  из  $[M + \text{H}]^+$  и ион  $[M + \text{C}_{17}\text{H}_{35}\text{CO}]^+$ . Более интенсивен пик стеароил-иона. Спектр отрицательных ионов представлен ионами  $[M + \text{OH}]^-$ ,  $[M + \text{C}_{17}\text{H}_{35}\text{COO}]^-$  и наиболее интенсивным сигналом иона  $\text{C}_{17}\text{H}_{35}\text{COO}^-$  [40].

Воски – метилстеарат и стеарилпальмитат характеризуются ионами  $[M + H]^+$ ,  $[2M + H]^+$  и карбоксилат-ионом  $RCOO^-$ . Интенсивные пики фраг-

ментных ионов связаны с потерей олефина  $C_{18}H_{36}$ :  $[M + H - C_{18}H_{36}]^+$  и  $[M - H - C_{18}H_{36}]^-$ . Присутствует также миорный сигнал от  $[M + C_{15}H_{31}CO]^+$  [40].

Для анализа пальмитата холестерина в качестве матрицы использовали нитран [34]. Положительные ионы спектра представлены миорным  $[M + H]^+$ -ионом и доминирующим фрагментным ионом [холестерин – OH] $^+$ , жирнокислотный состав подтвержден ионом  $C_{15}H_{31}COO^-$  [34]. Необычный для метода PD MS интенсивный ион  $[M - H]^+$  зарегистрирован в спектре холестерина [46]. Эргостерин, имеющий сходную структуру, образует ион-радикал  $M^{+\bullet}$  [46].

В случае моно-, ди- и триглицеридов пик иона  $[M + H]^+$  имеет высокую интенсивность для пальмитоилглицерина, среднюю – для дипальмитоилглицерина и 1-пальмитоил-3-стеариолглицерина

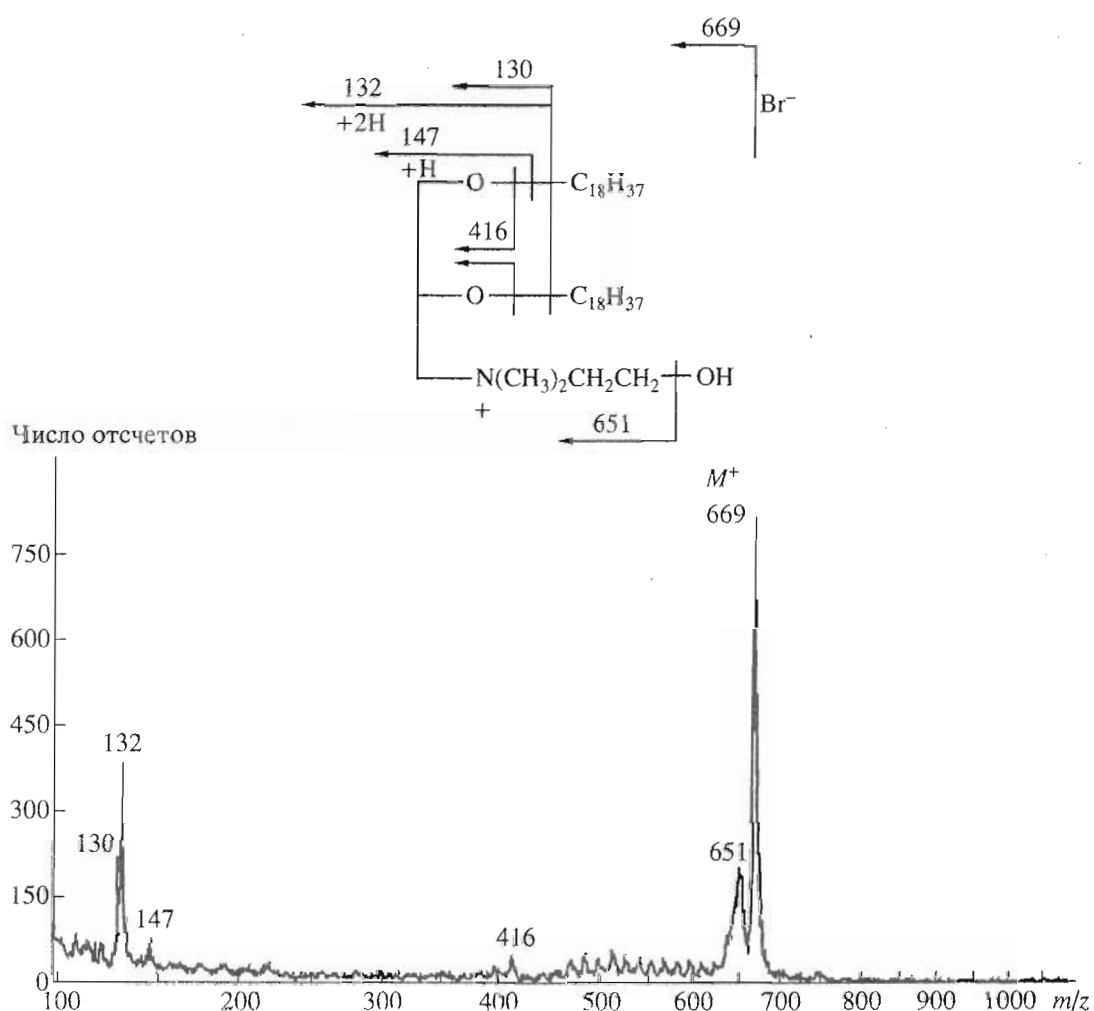


Рис. 2. Масс-спектр бромида  $\text{N}$ -(2-гидроксиэтил)- $\text{N},\text{N}$ -диметил- $\text{N}$ -(2,3-диоктадецилоксипропил)аммония [36]. Спектр зарегистрирован нами на приборе МС БХ [29].

и низкую – для трипальмитоилглицерина. В масс-спектрах этих соединений зарегистрированы также интенсивные пики  $\text{RCO}^+$ ,  $[\text{M} + \text{H} - \text{RCOOH}]^+$  и минорные  $[\text{M} + \text{RCO}]^+$  [40]. При использовании нитрана в качестве матрицы по фрагментным ионам  $\text{RCOO}^-$  был определен жирнокислотный состав 1,2-дипальмитоил-3-миристоилглицерина [34].

На примере смеси трипальмитоилглицерина и тристеароилглицерина, а также смесей различных восков показана возможность применения метода РД MS для анализа поверхностных явлений [47], например процессов перераспределения компонентов между бомбардируемой поверхностью и внутренними слоями. Использование метода FAB MS для этой цели дает меньшую информацию [47].

В спектрах природных гликолипидов, липоолигосахаридов и гликопептидолипидов присутствовали один или несколько пиков ионов  $[\text{M} + \text{Na}]^+$ , позволяющие не только определить молекуляр-

ную массу вещества, но и оценить его гомогенность [22, 24, 48]. Так, при анализе смеси фенольных гликолипидов из *Mycobacterium leprae* несколько сигналов ионов  $[\text{M} + \text{Na}]^+$  соответствовали соединениям с остатками жирных кислот  $\text{C}_{30}$ ,  $\text{C}_{32}$  и  $\text{C}_{34}$  [22]. Результаты масс-спектрометрических исследований подтвердились разделением смеси на компоненты с помощью ВЭЖХ.

Жирнокислотный состав липополисахаридов, гликолипидов А и фенольных гликолипидов можно определить по пикам положительных фрагментных ионов, образованных при отщеплении остатка жирной кислоты [23, 26, 48 - 50]. В масс-спектрах ганглиозидов эритроцитов кошки и овцы кроме  $[\text{M} + \text{Na}]^+$  информативными оказались и другие положительные фрагментные ионы липидной части молекулы [23] (схема 4).

Спектр отрицательных ионов природных липидов содержит сигналы фрагментов  $\text{RCOO}^-$ , соответствующие остаткам жирных кислот [22, 26, 51].

Так, по сигналу этих ионов определена однородность жирнокислотного состава гликолипидов [26] и липоолигосахарида [51]. Сигналы нескольких ионов ( $C_{30}H_{59}O_2^-$ ,  $C_{32}H_{63}O_2^-$  и  $C_{34}H_{67}O_2^-$ ), регистрируемые в масс-спектре гликопептидолипида, также позволяют идентифицировать состав жирных кислот [22].

На примере фосфорилированного гликолипида показаны возможные причины получения неудачных спектров [52]. Повышенное содержание ионов кальция (в отношении к липиду 1 : 10) вызывает образование "ложного" иона  $[M - H]^-$  и подавление истинного. Более высокое содержание ионов кальция – причина появления в масс-спектре серий пиков массой до  $m/z$  2000 [52].

Методом PD MS анализировали смеси липидов различных классов, полученные из бактериальных клеток, клеток млекопитающих, биологических мембран и экстрактов тканей без дополнительной очистки и модификации. В спектре положительных ионов обнаружены сигналы, отвечающие холестерину и фосфатидилхолину. Сульфатиды регистрировали по иону  $[M - H]^-$  [53, 54]. Более полная информация получена при сопоставлении результатов исследований этих смесей методом PD MS с другими методами: FAB MS и LD MS [53, 54].

## ПИГМЕНТЫ

Метод PD MS успешно применяется при исследовании природных пигментов, и в частности хлорофиллов [55 - 61].

Хлорофилл *a* и феофитин *a* – одни из немногих соединений, для которых известно соотношение интенсивности сигналов ионов  $[M + H]^+$  и  $M^{+*}$ , а также  $[M + H]^-$ ,  $M^-$  и  $[M - H]^-$  в условиях PD [55, 56]. В случае хлорофилла *a* преобладают ионы  $[M + H]^+$  и  $[M + H]^-$ , а для феофитина *a* –  $[M + H]^+$  и  $M^-$ .

В работах [55, 56] подробно изучены метастабильные ионы хлорофилла *a* и феофитина *a*. Молекулярные ионы хлорофилла *a* менее устойчивы, чем ионы феофитина *a*. Видимо, для десорбции хлорофилла необходима значительная энергия, которая затем вызывает метастабильные переходы [55, 56]. Это необходимо учитывать при анализе смесей хлорофилла и феофитина.

Положительные и отрицательные фрагментные ионы хлорофилла *a* регистрируются в виде характерного интенсивного пика с  $m/z$  615, соответствующего отрыву фитильного заместителя хлоринового цикла, и серии пиков, расположенных регулярно с интервалом  $m/z$  около 14 и отвечающих отщеплению метоксильного, метильного, фитилоксикарбонилэтильного заместителей и хлоринового цикла [55 - 60].

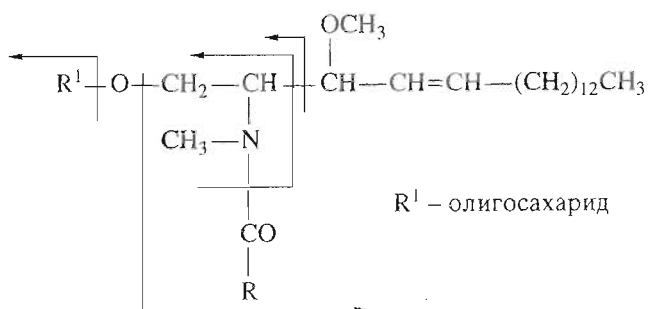


Схема 4 [23].

При исследовании агрегатов хлорофилла *a* ( $Xh\ a$ ) в масс-спектрах зарегистрированы группы ионов, соответствующие агрегированной форме ( $Xh\ a$ )<sub>n</sub> при  $n \leq 7$  из *n*-октана и  $n \leq 2$  из четыреххлористого углерода, 2-пропанола и додекана [58, 60]. Потеря фитильного остатка и других заместителей макроцикла не нарушает координационных взаимодействий, ведущих к образованию димерного агрегата. Показано, что на процесс PD хлорофилла *a* влияет не только его агрегатное состояние, но и используемая матрица [60].

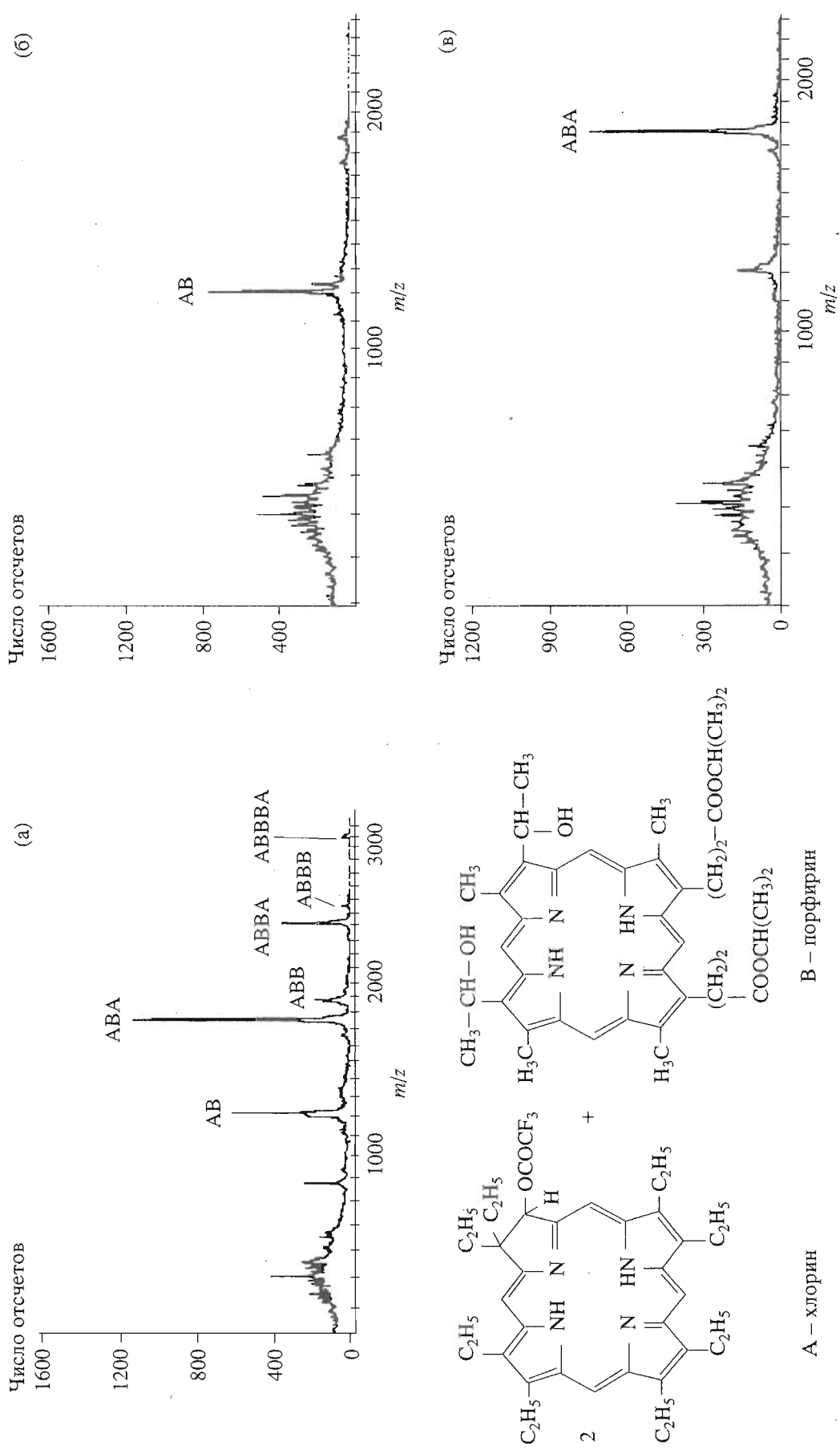
Метод PD MS применяется для контроля индивидуальности хлорофилла *a*, например для обнаружения примеси феофитина *a* или продуктов разложения [55, 56, 61].

При исследовании смеси хлорофиллов *a* и *b* отмечено, что соотношение интенсивности сигналов положительных молекулярных ионов этих соединений составляет 2.5, а отрицательных – 0.5. Это объясняется различным сродством этих хлорофиллов к электрону [61].

Зарегистрированы спектры, подтверждающие структуру димерного хлорофилла, сшитого бутиленгликолем, а также бис(10-гидроксибутоксиметилфеофорбид-*a*)-1,4-дихлорфталата, сшитого сложноэфирной связью с помощью фталевой кислоты [61]. Зарегистрированы ионы  $M^{+*}$ , а также фрагментные ионы в области масс мономерного фрагмента.

Отдельные работы посвящены исследованию порфиринов [62 - 69]. Молекулярная масса синтетических порфиринов, замещенных в мезо-положении (более 100 соединений), определялась по ионам  $M^{+*}$  или/и  $[M + H]^+$  [62]. Структура ванадиевого комплекса тетрафенилпорфирина подтверждается ионами  $M^{+*}$ ,  $[M - O]^+$ ,  $[M - Ph]^+$ ,  $[M - Ph - O]^+$  [63].

В спектрах дихиноновых и хиноновых производных порфирина зарегистрированы сигналы ионов  $M^{+*}$ , а также серии сигналов фрагментных ионов, образующихся при расщеплении связи порфирин-хинон и заместителей порфиринового цикла [64, 65].



**Рис. 3.** Масс-спектры реакционной массы, полученной при конденсации хлорина (A) и пурпуринина (B) (а), и выделенных из нее димера AB (б), тримера ABA (в). Спектры зарегистрированы нами на приборе MC EX [29].

Масс-спектр цианкобаламина, витамина В<sub>12</sub>, природного макроциклического комплекса, содержащего Co<sup>2+</sup>, характеризуется ионами [M + Na - CN]<sup>+</sup>, [M + H - CN]<sup>+</sup>, [M - H - HCN]<sup>-</sup> и фрагментными ионами, соответствующими отщеплению заместителей макроцикла [3, 66].

В масс-спектре синтетических димерных порфиринов присутствуют сигналы молекулярных ионов, а также фрагментных ионов [62, 67, 68].

Нами проведена идентификация веществ, полученных при конденсации хлорина (A) и порфирина (B). Как следует из масс-спектра (рис. 3а), в реакционной смеси имеются преимущественно димер AB и тример ABA, выделенные впоследствии в индивидуальном состоянии (рис. 3б, 3в), а также другие высшие олигомеры: ABB, ABBB, ABBA и ABBVA.

Серия сигналов низкомолекулярных петропорфиринов обнаружена в масс-спектре фракции полярных металлопорфиринов, выделенной из сланцевого дегтя [69]. Эти результаты находятся в соответствии с данными, полученными методом CI MS. Однако более высокое соотношение сигнал-шум получено в PD-масс-спектре.

Метод PD MS успешно применен для анализа производных билирубина. Так, для моно- и диглюкуронидов билирубина, а также метаболитов диметилового эфира билирубина в масс-спектрах зарегистрированы ионы [M + H]<sup>+</sup> и фрагментные ионы, дающие структурную информацию [70].

Для β-каротина в масс-спектре зарегистрирован пик с *m/z* 537, соответствующий иону [M + H]<sup>+</sup>. Использование PD MS при анализе экстрактов моркови позволяет по ионам [M + H]<sup>+</sup> идентифицировать в составе смеси каротиноидов β-каротин и лютеин [71]. Присутствие лютеина подтверждается также сигналом фрагментного иона, образующегося при потере воды.

Различные типы хлорофиллов и каротиноидов морских микроорганизмов обнаружены методом PD MS в донных отложениях Северного моря. При отнесении этих соединений к определенным группам организмов сделан вывод о биологическом составе и биогеохимических условиях исследованной среды [72].

## ЗАКЛЮЧЕНИЕ

Как следует из данных, приведенных в настоящем обзоре, времяпролетная масс-спектрометрия с ионизацией осколками деления <sup>252</sup>Cf (PD MS) – простой и информативный метод исследования структуры многочисленных сложных органических соединений. В некоторых случаях PD MS имеет преимущества перед другими способами определения строения молекул, в том числе и такими вариантами MS, как FAB и LD. После проведения измерений методом PD MS основная часть образ-

ца сохраняется и может быть использована для дальнейших исследований, например его модификации. Дополнительную информацию можно получить, анализируя отрицательные ионы. Приборы, используемые для PD MS, характеризуются низкой стоимостью и простотой обслуживания. Все это позволяет прогнозировать дальнейшее успешное развитие техники и методологии в этой области масс-спектрометрии.

## СПИСОК ЛИТЕРАТУРЫ

1. McNeal C.J., Macfarlane R.D. // J. Am. Chem. Soc. 1986. V. 108. P. 2132 - 2139.
2. Ens W., Standing K.G., Chait B.T., Field F.H. // Anal. Chem. 1981. V. 53. P. 1241 - 1244.
3. Macfarlane R.D., Torgerson D.F. // Science. 1976. V. 191. P. 920 - 925.
4. Viari A., Ballini J.P., Meleard P., Vigny P., Dousset P., Blonski C., Shire D. // Biomed. Environ. Mass Spectrom. 1988. V. 16. P. 225 - 228.
5. Viari A., Ballini J.P., Vigny P., Shire D., Dousset P. // Biomed. Environ. Mass Spectrom. 1987. V. 14. P. 83 - 90.
6. Viari A., Ballini J.P., Vigny P., Voituriez L., Cadet J. // Biomed. Environ. Mass Spectrom. 1989. V. 18. P. 547 - 552.
7. Viari A., Ballini J.P., Vigny P., Blonski C., Dousset P., Shire D. // Tetrahedron Lett. 1987. V. 28. P. 3349 - 3352.
8. Macfarlane R.D., McNeal C.J., Jacobs D.L. // J. Phys. C. 1989. V. 50. P. 21 - 25.
9. McNeal C.J., Narang S.A., Macfarlane R.D., Hsiung H.M., Brousseau R. // Proc. Natl. Acad. Sci. USA. 1980. V. 77. P. 735 - 739.
10. McNeal C.J., Ogilvie K.K., Theriault N.Y., Nemer M.J. // J. Am. Chem. Soc. 1982. V. 104. P. 981 - 984.
11. McNeal C.J., Macfarlane R.D. // J. Am. Chem. Soc. 1981. V. 103. P. 1609 - 1610.
12. McNeal C.J., Ogilvie K.K., Theriault N.Y., Nemer M.J. // J. Am. Chem. Soc. 1982. V. 104. P. 976 - 980.
13. McNeal C.J., Ogilvie K.K., Theriault N.Y., Nemer M.J. // J. Am. Chem. Soc. 1982. V. 104. P. 972 - 975.
14. Aduru S., Chait B.T. // Anal. Chem. 1991. V. 63. P. 1621 - 1625.
15. Jardine I. // The Analysis of Peptides and Proteins by Mass Spectrometry / Ed. C.J. McNeal. N. Y.: Wiley, 1988. P. 41 - 54.
16. Martin W.B., Silly L., Murphy C.M., Raley T.J., Cotter R.J., Bean M. // Int. J. Mass Spectrom. Ion Processes. 1989. V. 92. P. 243 - 265.
17. Kamensky I., Craig A.G. // Anal. Instrum. 1987. V. 16. P. 71 - 91.
18. Khan A.H., Shaikh B., Allen E.H., Sokoloski E.A. // Biomed. Environ. Mass Spectrom. 1988. V. 17. P. 329 - 335.
19. McNeal C.J., Macfarlane R.D. // Proc. IV Int. Conf. on Ion Formation from Organic Solids (IFOS IV). 1987 / Eds J. Benninghoven. Chichester: Wiley, 1989. P. 63 - 70.
20. McNeal C.J., Macfarlane R.D., Jardine I. // Biochem. Biophys. Res. Commun. 1986. V. 139. P. 18 - 24.

21. Macfarlane R.D. // Trends Anal. Chem. 1988. V. 7. P. 179 - 183.
22. Jardine I., Scanlan G., McNeil M., Brennan P.J. // Anal. Chem. 1989. V. 61. P. 416 - 422.
23. Furukawa K., Chait B.T., Lloyd K.O. // J. Biol. Chem. 1988. V. 263. P. 14939 - 14947.
24. Bozic C.M., McNeil M., Chatterjee D., Jardine I., Brennan P.J. // J. Biol. Chem. 1988. V. 263. P. 14984 - 14991.
25. Yang Y.M., Lloyd H.A., Pannell L.K., Fales H.M., Macfarlane R.D., McNeal C.J., Ito Y. // Biomed. Environ. Mass Spectrom. 1986. V. 13. P. 439 - 445.
26. Wang R., Chen L., Cotter R.J., Qureshi N., Takayama K. // J. Microbiol. Methods. 1992. V. 15. P. 151 - 166.
27. Fales H.M., Yang Y.-M., Pannell L.K., Lamoureux C.J.H., Feil V.J. // Biomed. Environ. Mass Spectrom. 1989. V. 18. P. 71 - 76.
28. Аникин М.В., Дубовская С.И., Чупин В.В., Серебренникова Г.А. // Биоорган. химия. 1993. Т. 19. С. 1102 - 1110.
29. Knysch A.N., Savin O.R., Loschinin M.B., Kirianov G.J., Bondarenko P.V., Zubarev R.A., Rozynov B.V. // Proc. V Int. Conf. Chem. Biotechnol. Biol. Active Nat. Prod. V. 2. Varna, 1989. P. 370 - 372.
30. Bean M.F., Bangs J.D., Doering T.L., Englung P.T., Hart G.W., Fenselau C., Cotter R.J. // Anal. Chem. 1989. V. 61. P. 2686 - 2688.
31. Allmaier G., Caparros M.R., Pittenauer E. // Rapid Commun. Mass Spectrom. 1992. V. 6. P. 284 - 288.
32. Wang R., Cotter R.J., Tiao-Yin Lin, Laskowski M.Jr. // Rapid Commun. Mass Spectrom. 1988. V. 2. P. 71 - 73.
33. Demirev P. // Biomed. Environ. Mass Spectrom. 1987. V. 14. P. 241 - 246.
34. Lacey M.P., Keough T. // Anal. Chem. 1991. V. 63. P. 1482 - 1487.
35. Allmaier G., Pittenauer E., Schmid E.R. // Organ. Mass Spectrom. 1991. V. 26. P. 804 - 806.
36. Константинова И.Д., Ушакова И.П., Серебренникова Г.А. // Биоорган. химия. 1993. Т. 19. С. 804 - 848.
37. Клыков В.Н., Остапенко О.В., Серебренникова Г.А. // Биоорган. химия. 1993. Т. 19. С. 360 - 365.
38. Sablina M.A., Ushakova I.P., Serebrennikova G.A. // Mendeleev Commun. 1995. P. 6 - 8.
39. Константинова И.Д., Завгородний С.Г., Мироников А.И., Ушакова И.П., Серебренникова Г.А. // Биоорган. химия. 1995. Т. 21. С. 71 - 74.
40. Yang Y.M., Sokoloski E.A., Fales H.M., Pannell L.K. // Biomed. Environ. Mass Spectrom. 1986. V. 13. P. 489 - 494.
41. Zingaro R.A., Vindiola A.G., Zoeller Jr. // Int. J. Mass Spectrom. Ion Phys. 1983. V. 53. P. 349 - 352.
42. Van Veelen P.A., Tjaden U.R., van der Greef J. // Int. J. Mass Spectrom. Ion Processes. 1991. V. 110. P. 93 - 101.
43. Bolbach G., Beavis R., Della Negra S., Deprun C., Ens W., LeBeyec Y., Main D.E., Schueler B., Standing K.G. // Nucl. Instr. Meth. Phys. Res. 1988. V. B30. P. 74 - 82.
44. Bolbach G., Della-Negra S., Deprun C., Le Beyec Y., Standing K.G. // Rapid Commun. Mass Spectrom. 1987. V. 1. P. 22 - 24.
45. Bolbach G., Viari A., Galera R., Brunot A., Blais J.C. // Int. J. Mass Spectrom. Ion Processes. 1992. V. 112. P. 93 - 100.
46. Demirev P., Daya D., Barlo D.N., Brinkmalm G., Fenyo D., Haakansson P., Sundqvist B.U.R. // Int. J. Mass Spectrom. Ion Processes. 1993. V. 123. P. 69 - 75.
47. Showell J.S., Fales H.M., Sokoloski E.A. // Organ. Mass Spectrom. 1989. V. 24. P. 632 - 636.
48. Cole R.B., Domelsmith L.N., David C.M., Laine R.A., DeLuca A.J. // Rapid Commun. Mass Spectrom. 1992. V. 6. P. 616 - 622.
49. Qureshi N., Takayama K., Mascagny P., Honovich J., Wong R., Cotter R.J. // J. Biol. Chem. 1988. V. 263. P. 11971 - 11976.
50. Qureshi N., Takayama K., Meyer K.C., Kirkland T.N., Bush C.A., Chen L., Wang R., Cotter R.J. // J. Biol. Chem. 1991. V. 266. P. 6532 - 6538.
51. Jardine I., Hunter S.W., Brennan P.J., McNeal C.J., Macfarlane R.D. // Biomed. Environ. Mass Spectrom. 1986. V. 13. P. 273 - 276.
52. Deprum C., Szabo L. // Rapid Commun. Mass Spectrom. 1989. V. 3. P. 171 - 174.
53. Craig A.G., Bennich H., Derrick P.J. // Organ. Mass Spectrom. 1991. V. 26. P. 1037 - 1038.
54. Heller D.N., Fenselau C., Cotter R.J., Demirev P., Olthoff J.K., Honovich J., Uy M., Tanaka T., Kishimoto Y. // Biochem. Biophys. Res. Commun. 1987. V. 142. P. 194 - 199.
55. Chait B.T., Field F.H. // J. Am. Chem. Soc. 1982. V. 104. P. 5519 - 5521.
56. Chait B.T., Field F.H. // J. Am. Chem. Soc. 1984. V. 106. P. 1931 - 1938.
57. Chait B.T. // Int. J. Mass Spectrom. Ion Processes. 1989. V. 92. P. 297 - 329.
58. Hunt J.E., Macfarlane R.D., Katz J.J., Dougherty R.C. // Proc. Natl. Acad. Sci. USA. 1980. V. 77. P. 1745 - 1748.
59. Hunt J.E., Macfarlane R.D., Katz J.J., Dougherty R.C. // J. Am. Chem. Soc. 1981. V. 103. P. 6775 - 6778.
60. Tuszyński W., Angermann R., Hillmann F., Maier-Schwartz K. // NATO ASI Ser. Ser. B. 1991. V. 269. P. 61 - 65.
61. Hunt J.E., Schaber P.M., Michalski T.J., Dougherty R.C., Katz J.J. // Int. J. Mass Spectrom. Ion Phys. 1983. V. 53. P. 45 - 58.
62. Lindsey J.S., Chaudhary T., Chait B.T. // Anal. Chem. 1992. V. 64. P. 2804 - 2814.
63. Hunt J.E. // Nucl. Instrum. Methods Phys. Res. Sect. B. 1987. V. 27. P. 181 - 187.
64. Грибкова С.Е., Резцова Н.А., Лузгина В.Н., Евстигнеева Р.П., Кулиш М.А. // Биоорган. химия. 1994. Т. 20. С. 536 - 542.
65. Боровков В.В., Грибков А.А., Евстигнеева Р.П., Струганова И.А., Пономарев Г.В., Кириллова Г.В., Розинов Б.В., Бондаренко П.В., Зубарев Р.А., Кныш А.Н. // Химия гетероциклических соединений. 1991. С. 1324 - 1330.

66. Loo J.A., Williams E.R., Amster I.J., Furlong J.J.P., Wang B.H., McLafferty F.W., Chait B.T., Field F.H. // Anal. Chem. 1987. V. 59. P. 1880 - 1882.
67. Hunt J.E., Michalski T.J., Katz J.J. // Int. J. Mass Spectrom. Ion Phys. 1983. V. 53. P. 335 - 336.
68. Levinson E.G., Reztsova N.A., Mironov A.F. // Mendeleev Commun. 1995. P. 44 - 46.
69. Wood K.V., Bonham C.C., Chou M.-I.M. // Energy Fuels. 1990. V. 4. P. 747 - 748.
70. Fenselau C., Wang R., Odell G.B., Mogilevsky W. // Int. J. Mass Spectrom. Ion Processes. 1989. V. 92. P. 289 - 295.
71. Beug-Deeb M.U.D., Bennett J.A., Inman M.E., Schweikert E.A. // Anal. Chim. Acta. 1989. V. 218. P. 85 - 92.
72. Turzynski W., Klenke T., Andermann R., Bartsch A., Maier-Schwartz K. // Fresenius. Z. Anal. Chem. 1989. V. 334. P. 686.

## Plasma Desorption Mass Spectrometry of Natural Substances. 2.<sup>1</sup> Applications of the Method to the Analysis of Nucleotides, Carbohydrates, Lipids, and Pigments

N. A. Reztsova,<sup>2</sup> M. A. Kulish, and A. F. Mironov

Lomonosov State Academy of Fine Chemical Technology, pr. Vernadskogo 86, Moscow, 117571 Russia

**Abstract**—Applications of plasma desorption mass spectrometry to the analysis of natural compounds—peptides and proteins (Part 1), nucleotides, carbohydrates, lipids, and pigments—are reviewed. The review covers literature from 1982 to 1995.

**Key words:** plasma desorption mass spectrometry (PD MS), oligonucleotides, carbohydrates, lipids, pigments.

<sup>1</sup> Part 1 of the review: see [1].

<sup>2</sup> To whom correspondence should be addressed.